

ПРИМЕНЕНИЕ КУБИЧЕСКОГО КАРБИДА ВОЛЬФРАМА WC_{1-x}, ПОЛУЧЕННОГО С ПОМОЩЬЮ УСКОРИТЕЛЯ ПЛАЗМЫ, В КАЧЕСТВЕ ЭЛЕКТРОКАТАЛИЗАТОРА В ТОПЛИВНЫХ ЭЛЕМЕНТАХ

К.Н. Шатрова

shatrova.xiusha@yandex.ru

Научный руководитель: Сивков А.А., д.т.н., профессор, Томский политехнический университет

ВВЕДЕНИЕ

Водородный топливный элемент (ТЭ) представляет собой электрохимическое устройство, преобразующее энергию химической реакции соединения водорода с кислородом напрямую в электричество, минуя малоэффективные процессы горения. Такое электрохимическое превращение позволяет ТЭ достигать КПД до 80 %. Кроме того, ТЭ не производит вредных выбросов, так как единственным продуктом реакции при его работе является вода. Поэтому в настоящее время топливные элементы рассматриваются как перспективные источники электрической энергии, однако их широкому применению препятствует ряд факторов, основным из которых является высокая стоимость. Высокая стоимость ТЭ обусловлена использованием электродов с нанесенным на них платиновым катализатором. Таким образом, разработка недорогих электрокатализаторов с высокой активностью для топливных элементов является ключевой задачей [1–3].

С тех пор как R.B. Levy and M. Boudart [4] обнаружили, что карбид вольфрама обладает катализитическими свойствами, аналогичными металлам платиновой группы для некоторых химических реакций, ученые стали предпринимать попытки его применения в топливных элементах. Однако вскоре было обнаружено, что использование одного карбида вольфрама в качестве катализатора для ТЭ не показывает ожидаемой активности. При этом было замечено, что при взаимодействии платины и карбид вольфрама проявляют синергетический эффект, который заключается в повышении электрокатализической активности относительно платинового катализатора [5].

В настоящее время предлагаются различные методы получения карбидов вольфрама для использования их в качестве подложки для платины в топливных элементах. Y. Hara, N. Minami and H. Itagaki представили метод получения различных фаз карбидов вольфрама с высокой площадью поверхности. Синтезированные таким образом карбиды показали следующее соотношение электрокатализической активности для реакции окисления водорода: WC > WC_{1-x} > W₂C. При этом добавление небольшого количества Pt к WC способствовало заметному увеличению анодной тока. Кроме того, удельная активность таких карбидов оказалась выше, чем у коммерческого катализатора [5]. Наночастицы карбида вольфрама (WC) были получены на пластинчатых углеродных нановолокнах (p-CNFs) для использования в качестве катализатора в прямых щелочных топливных элементах. Синтезированный материал WC/p-CNFs показал улучшенную каталитическую активность в отношении реакции окисления этанола по сравнению с p-CNFs благодаря синергетическому эффекту между наночастицами WC и нановолокнами p-CNFs, при котором максимальная плотность тока составила 9,0 mA·cm⁻² [6]. В работе [7] представлен процесс химического синтеза мезопористого композиционного материала, состоящего из платины Pt, карбида вольфрама WC и углерода C. Полученный ком-позит показал улучшенные характеристики процесса окисления метанола, о чем свидетельствовало увеличение максимальной плотности тока по сравнению с использованием угольной пластины (матрицы) с нанесенным коммерческим платиновым катализатором.

В данной работе предлагается метод получения кубической фазы карбида вольфрама WC_{1-x} в процессе прямого плазмодинамического синтеза для дальнейшего его использования в качестве основного компонента электрокатализатора в топливных элементах.

ЭКСПЕРИМЕНТАЛЬНАЯ ЧАСТЬ

Предлагаемый способ получения WC_{1-x} основан на использовании коаксиального магнито-плазменного ускорителя (КМПУ) [8]. Подробно методика проведения эксперимента описана в наших предыдущих работах [9, 10].

В качестве исходного реагента использовался микронный порошок вольфрама, который за-кладывался в зону формирования плазменной структуры сильноточного дугового разряда.

Импульсное электропитание КМПУ осуществлялось от емкостного накопителя энергии емкостью 6,0 мФ и зарядным напряжением 3,0 кВ. При подключении источника питания разрядный ток протекал по порошкообразной вольфрамовой перемычке, материал которой переходил в плазму, ко-торая ускорялась в графитовой коаксиальной системе.

Плазменный выстрел производился в камеру-реактор, заполненную аргоном при нормальных условиях.

Просвечивающая электронная микроскопия (TEM) продукта синтеза выполнена с помощью микроскопа JEOL JEM 2100F.

Электрокаталитические свойства синтезированного карбида вольфрама WC_{1-x} исследовались с помощью электрохимического анализатора Potentiostat CHI760e (CH Instruments).

РЕЗУЛЬТАТЫ АНАЛИТИЧЕСКИХ ИССЛЕДОВАНИЙ

На рисунке 1 представлены результаты просвечивающей электронной микроскопии продукта синтеза. Анализ микроэлектронных снимков показал, что полученный материал состоит из двух типов объектов: первый – округлые темные частицы размером до 60 нм, соответствующие фазе кубического карбида вольфрама; второй – менее плотные объекты, представляющие собой графитовую матрицу [9].

На картине дифракции электронов (рисунок 1б) можно идентифицировать 2 размытых кольца, принадлежащие фазе ультрадисперсного графита, и отдельные максимумы, соответствующие меж-плоскостным расстояниям кубического карбида вольфрама WC_{1-x}.

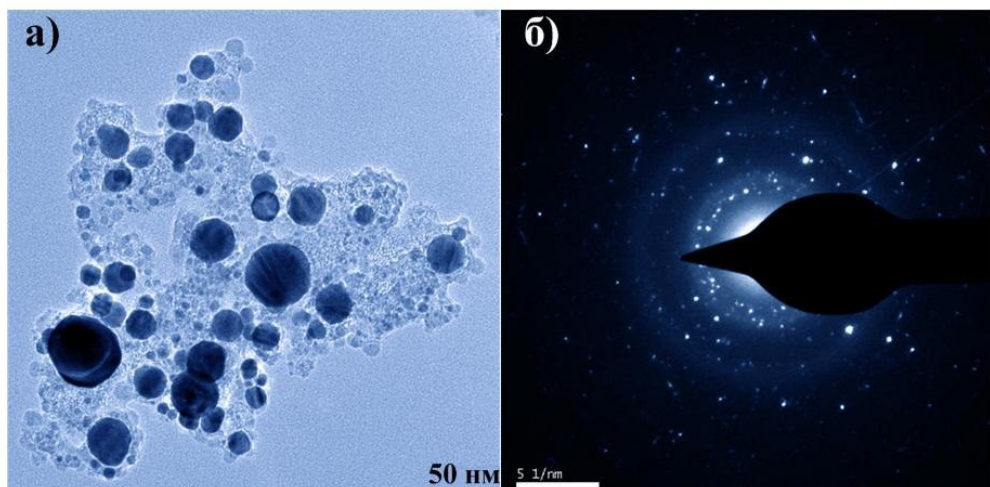


Рисунок 1. Результаты просвечивающей электронной микроскопии высокого разрешения

Каталитические исследования проводились методом трех электродов с использованием электрохимического анализатора. Используемый анализатор включал в себя три электрода: WE (working electrode) – рабочий электрод, на который наносился исследуемый материал; RE (reference electrode) – эталонный электрод, состоящий из Ag/AgCl; CE (counter electrode) – контрэлектрод, который представлял собой платиновую нить (рисунок 2).

На рис. 3 представлены результаты циклической вольтамперометрии для реакции окисления водорода, проводимой в метаноле. Были получены циклические вольтамограммы при нанесении на рабочий электрод синтезированного кубического карбида вольфрама WC_{1-x}, коммерческого пла-тинового катализатора HISPEC 3000 и при отсутствии на рабочем электроде какого-либо катализатора (стеклоуглерод).

Согласно проведенной циклической вольтамперометрии, кривая, полученная при использовании кубического карбида вольфрама, обладает большей площадью, в несколько раз большей, чем при использовании традиционного платинового катализатора. Данный результат говорит о том, что WC_{1-x} является более активным электрокатализатором для реакции окисления водорода, что и необходимо для его использования в топливных элементах.

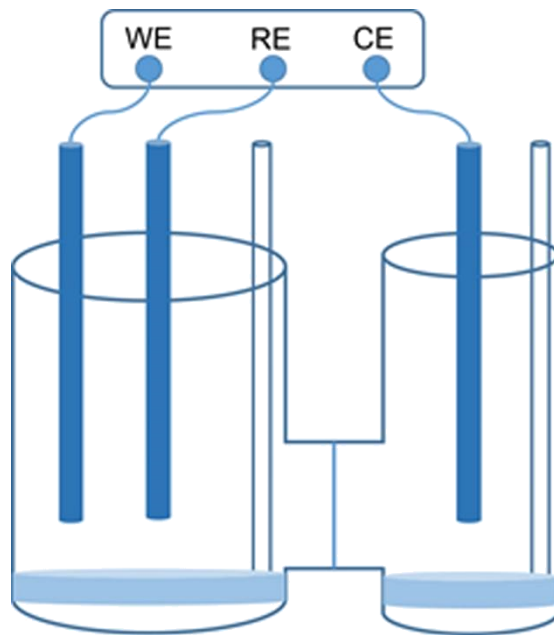


Рисунок 2. Схема электрохимического анализатора

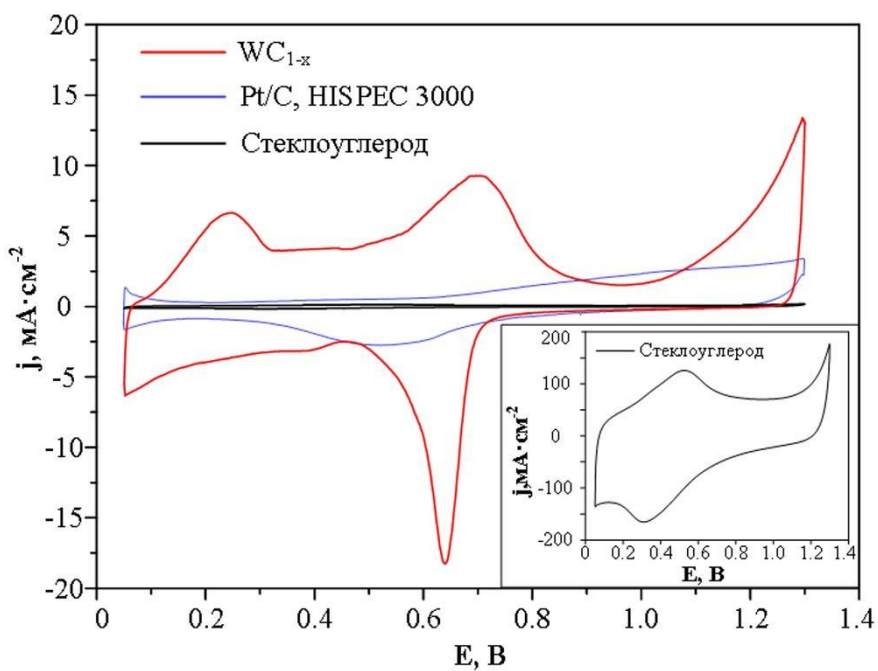


Рисунок 3. Результаты циклической вольтамперометрии

ЗАКЛЮЧЕНИЕ

Таким образом, в данной работе показана возможность использования кубического карбида вольфрама, полученного с помощью коаксиального ускорителя плазмы, в качестве альтернативного высокоактивного платинозамещающего катализатора для топливных элементов.

Список литературы

1. K. Huang, K. Bi, J.C. Xu, C. Lianga, S. Lin, W.J. Wang, T.Z. Yang, Y.X. Duc, R. Zhang, H.J. Yang, D.Y. Fan, Y.G. Wang, M. Lei // *Electrochimica Acta*. – 2015. – V. 174. – p. 172.

2. A. Hassan, V.A. Paganin, E.A. Ticianelli // Applied Catalysis B: Environmental. – 2015. – V. 165. – p. 611.
3. Ch. Tang, D. Wang, Zh. Wu, B. Duan // International Journal of Hydrogen Energy. – 2015. – V. 40. – № 8. – p. 3229.
4. R.B. Levy, M. Boudart // Science. – 1973. – V. 181. – p 547.
5. Y. Hara, N. Minami, H. Itagaki // Applied Catalysis A: General. – 2007. – V. 323. – p.86.
6. Y. Oh, S.-K. Kim, D.-H. Peck, J.-s. Jang, J. Kim, D.-H. Jung // Int. J. of Hydrogen Energy. – 2014. – V. 39. – № 28. – p.15907.
7. Ch. Ma, L. Kang, M. Shi, X. Lang, Y. Jiang // J. of Alloys and Compounds. – 2014. – V. 588. – p.481.
8. А.А. Сивков, А.Я. Пак // Патент РФ № 2431947. Н05Н 11/00, F41B 6/00. Коаксиальный магнито-плазменный ускоритель. Опубл. 20.10.2011. Бюл. № 29.
9. A. Pak, A. Sivkov, I. Shamenkov, I. Rahmatullin, K. Shatrova // Int. Journal of Refractory Metals & Hard Materials. – 2015. – V. 48. – p. 51.
10. A.A. Sivkov, A.Y. Pak, I.I. Shamenkov, Y.L. Kolganova, K.N. Shatrova // IOP Conference Series: Materials Science and Engineering. – 2014. – V. 66. – № 1. – p. 012001.